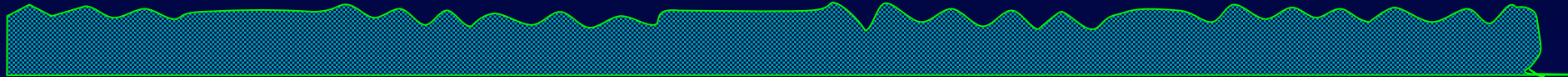
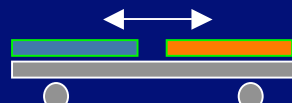


Hologramme direct ou synthétique ?



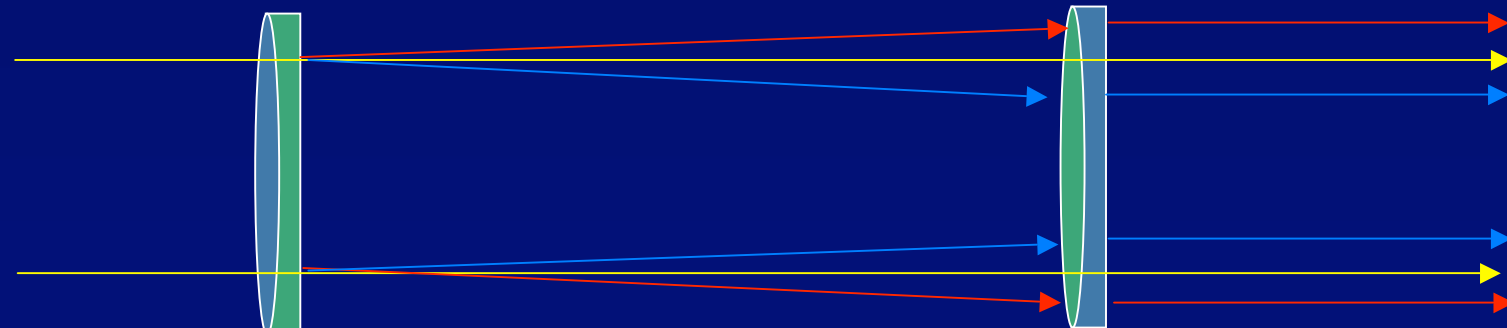
- Direct: nécessite matériau d 'enregistrement
 - « temps réel »
 - très sensible
 - éventuellement blocable
 - Difficile problème de photochimie !
- Synthétique: caméra et miroir déformable pour hologramme de phase **On sait faire !** En continu avec séparatrice ou en alternance avec un support mobile



Elargir la bande spectrale

Bosselage
 $\phi(x,y)$ ↓ amplitude ↓

- Onde dans la première pupille: $1 + i(2\pi/\lambda) \delta(x,y) + a(x,y)$
- Si $\phi(x,y) \gg a(x,y)$ speckles rouges identiques aux bleus, mais plus étalés
- Aussi pour les franges de l 'hologramme
- donc achromatisable avec un correcteur de Wynne

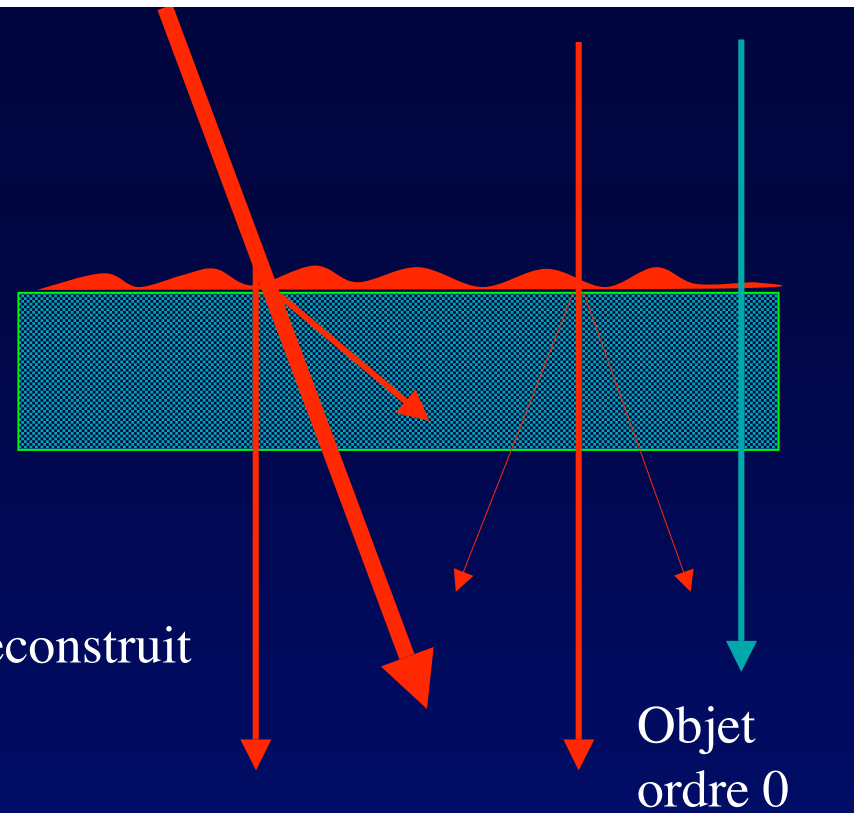


To be explored:

Achromatize with dispersed reference beam ?

- May be usable since the pupil speckles are nearly wavelength-invariant...
- ...under some conditions

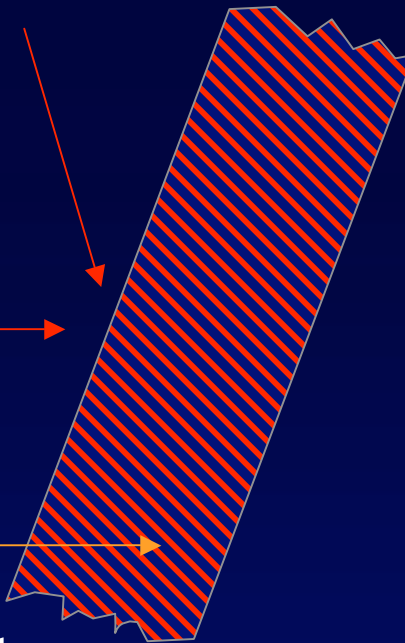
Hologramme de phase, à faible efficacité de diffraction



- Interférence destructrice en équilibrant les amplitudes, avec déphasage π
- Un hologramme faible convient si le faisceau de référence est plus intense....
- ...et la planète est peu atténueée

Cleaning with hologram: achromatize with color hologram ?

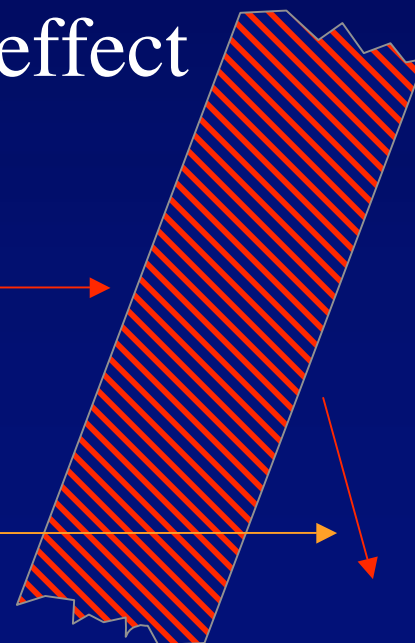
Lippmann-Bragg
hologram



- Standing waves recorded in thick film
- spectral selectivity through Bragg effect
- diffractive efficiency as N^{-2}

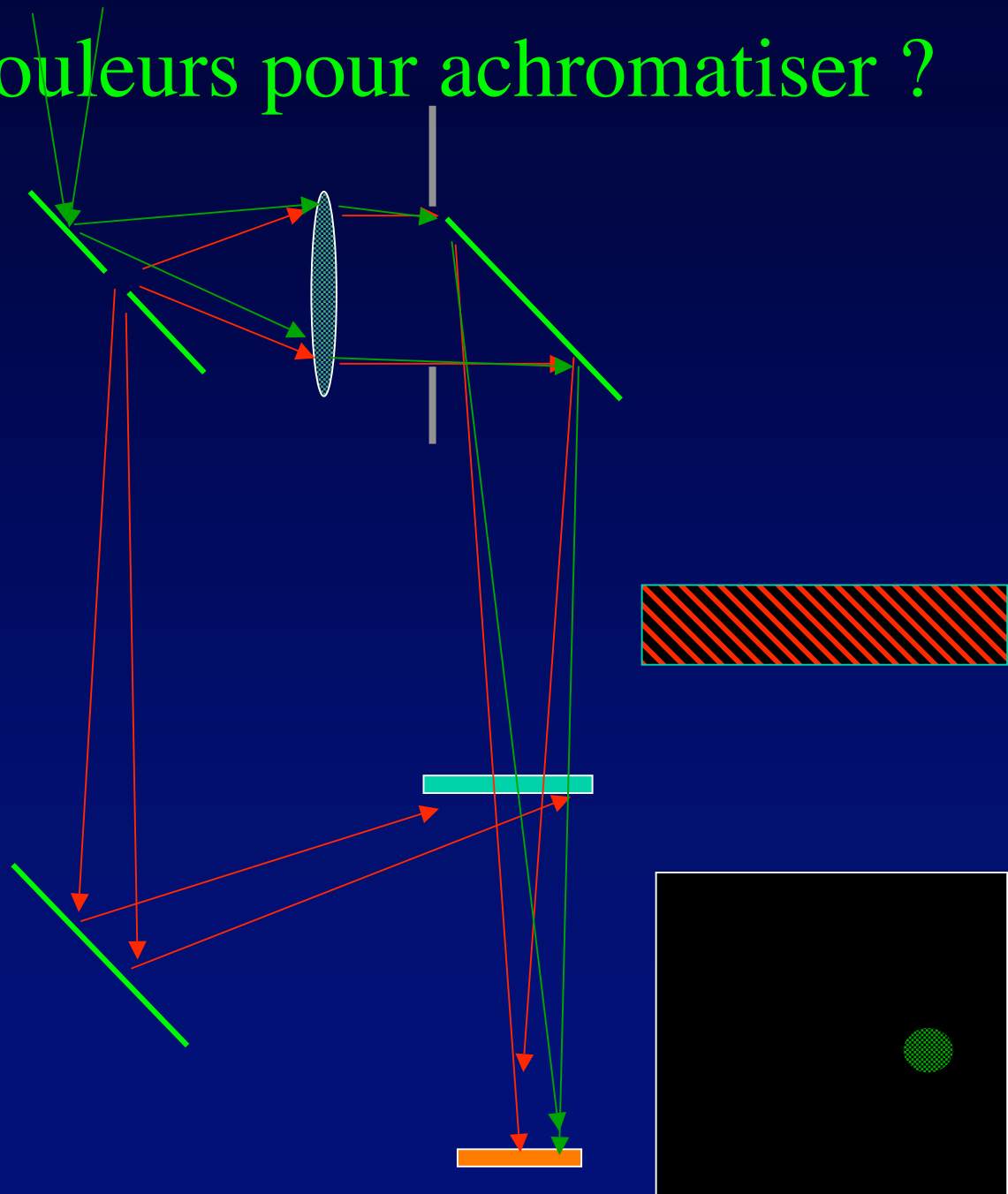
with N wavelengths

planet mostly transmitted



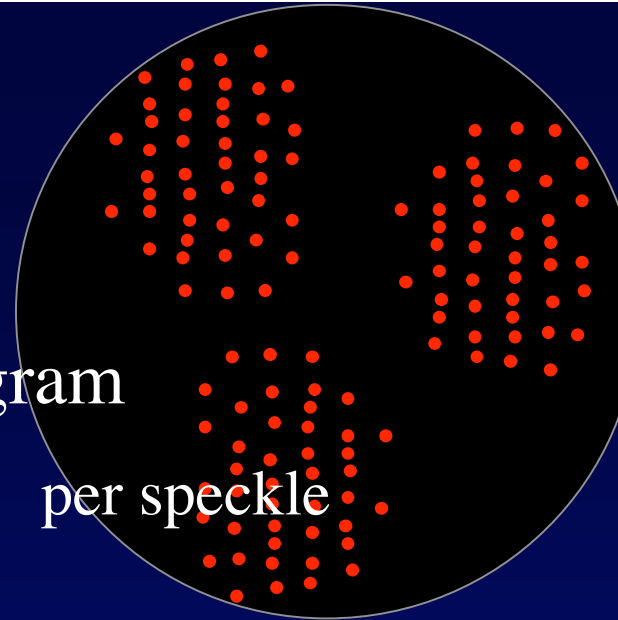
Hologramme en couleurs pour achromatiser ?

- Avantage de principe: pas d'onde conjuguée



Photon noise in hologram and limitation of nulling

- N_h photons per speckle to inscribe hologram
 - Amplitude of reconstructed beam = N_h per speckle
 - relative fluctuation of amplitude = $N_h^{-1/2}$
 - ... which equals the relative residue of the reconstructed beam ...
 - ... hence the intensity attenuation = N_h^{-1}
- N_o photons per speckle during the science exposure
- Nulling residue = $N_o N_h^{-1}$...
 - ... **leaves 1 photon per speckle** if same exposure times for recording and science
 - Exposure must be long enough to have several photons in the planet peak



laser star for recording low-noise hologram

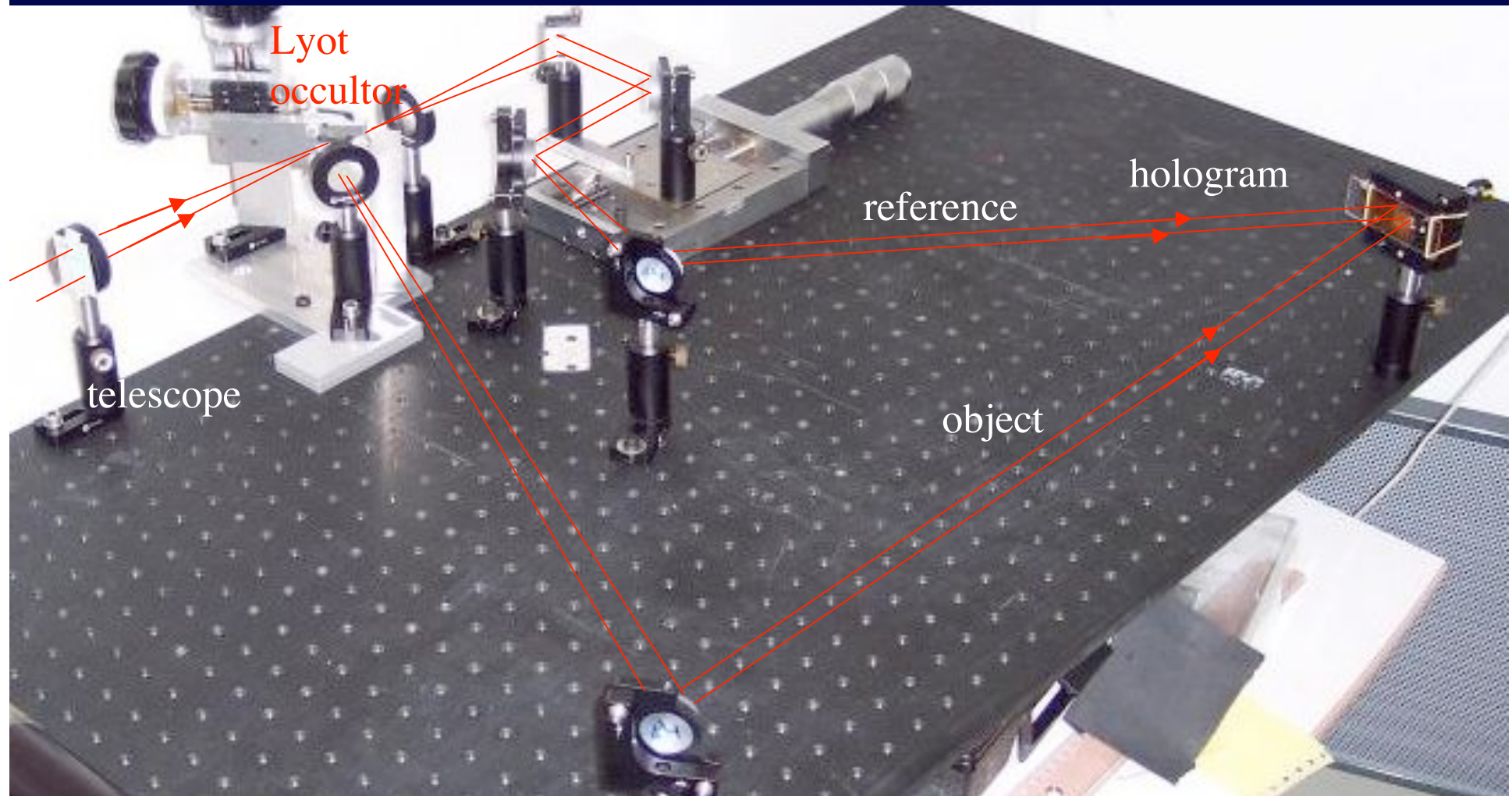


- laser source on Earth or in space, usable as artificial star
- Gives low-noise hologram in a short exposure
- refreshed when needed....
-the AO being frozen during the exposures

Reaching the theoretical nulling gain with hologram

- Deep nulling if:
 - Low-noise hologram (recorded with laser star)
 - Little resolved star, accurately guided
- in practice: gain 100 or 10,000 ?
- 1,000 can suffice for 10^{-10} planet

Laboratory version (F.Martinache , in preparation)



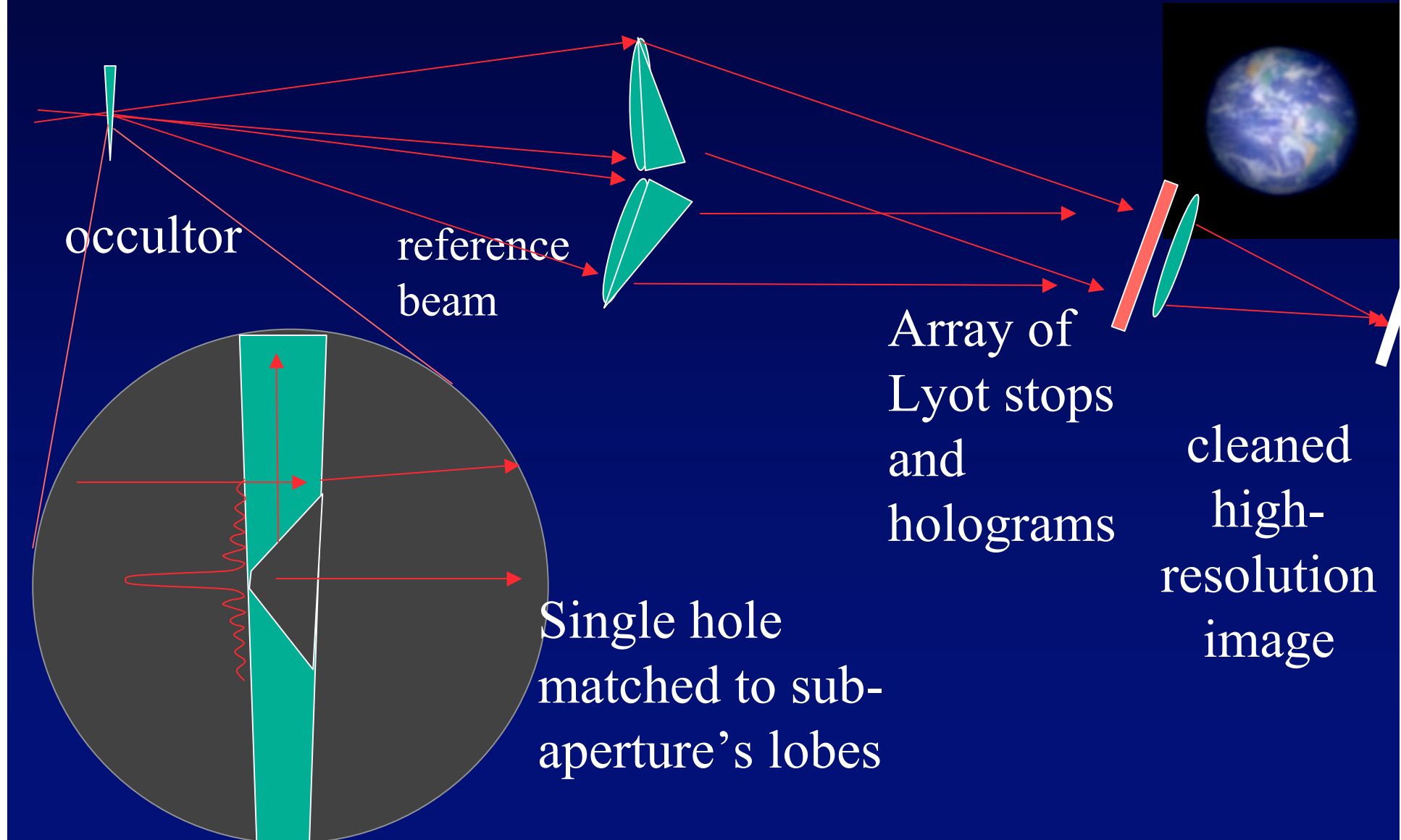
Hologram can relax the bumpiness tolerance

- three correction levels to be harmonized:
 - Mirror polishing : $\lambda/10$ or $\lambda/1000$?
 - adaptative optics : $\lambda/100$ or $\lambda/5000$?
 - Hologram: attenuate star residue 10 or 1000 times ?
 - Possibility of several hologram stages
- Best sharing depends on available components

Better than « incoherent » or « post-detection » subtraction of stellar residue (initially proposed for HST by Bonneau et al., 1975 posted at www.oamp.fr/lise/BonneauEtAlHST.pdf)

- Principle of incoherent subtraction :
 - subtract exposures with and without planet
- Residue $N_o^{1/2}$
- coherent subtraction is better
 - Leaves a single photon per speckle....
 - And even less if low-noise hologram inscribed with a bright laser star

Low-resolution coronagraph with hologram for EEI



Interféromètre



- Marche encore avec deux éléments : image dégradée, mais sans perte de résolution

Trois étapes vers l'imagerie à haute résolution

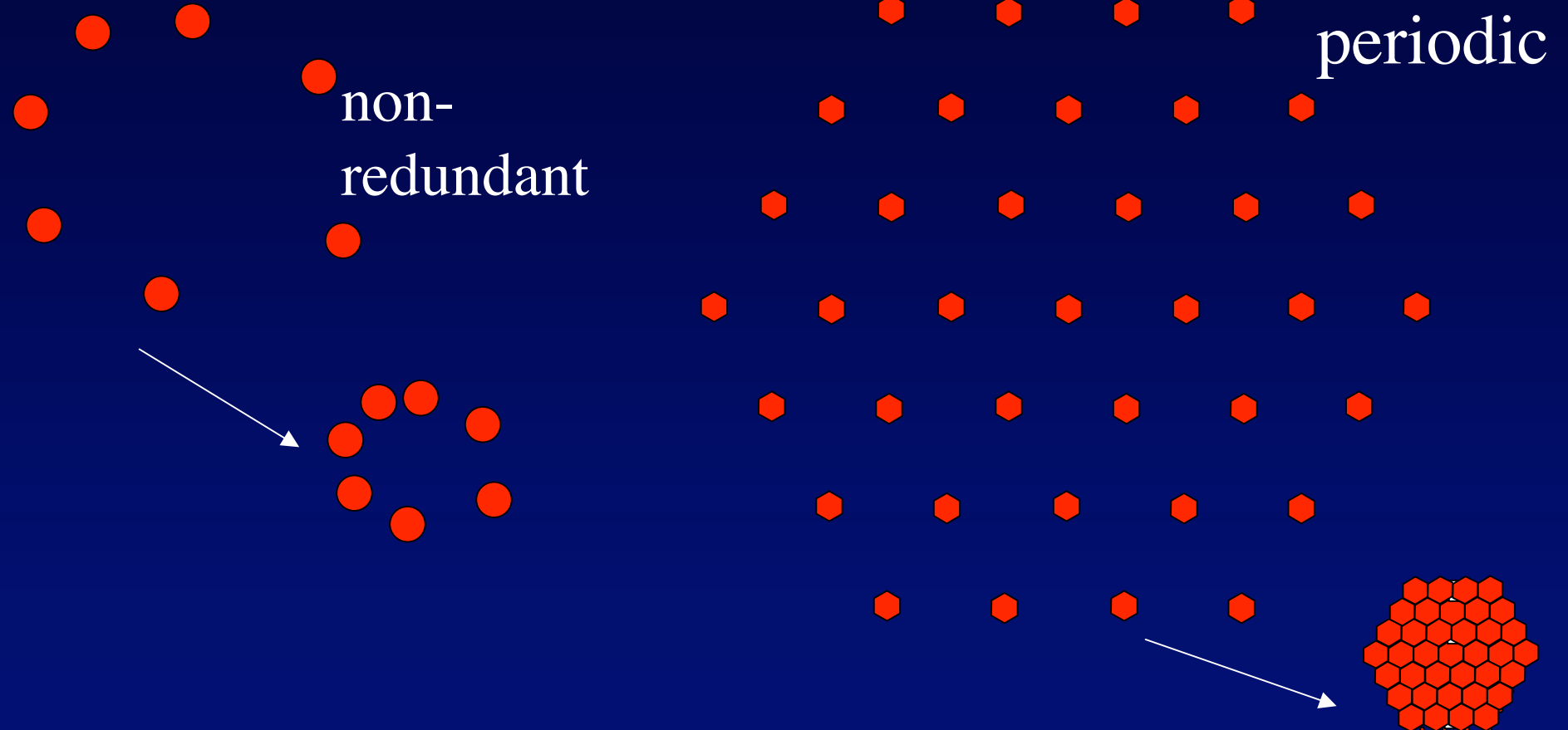
1. Synthèse d'ouverture par paires ou triplets
2. Imagerie directe avec ouverture multiple:
 - Combinaison Fizeau
 - Combinaison hypertélescope

L'imagerie directe est plus sensible en présence de « fond de ciel »

L'hypertélescope est encore plus sensible si le détecteur est imparfait (seuil, etc..)

Principle of hypertelescopes

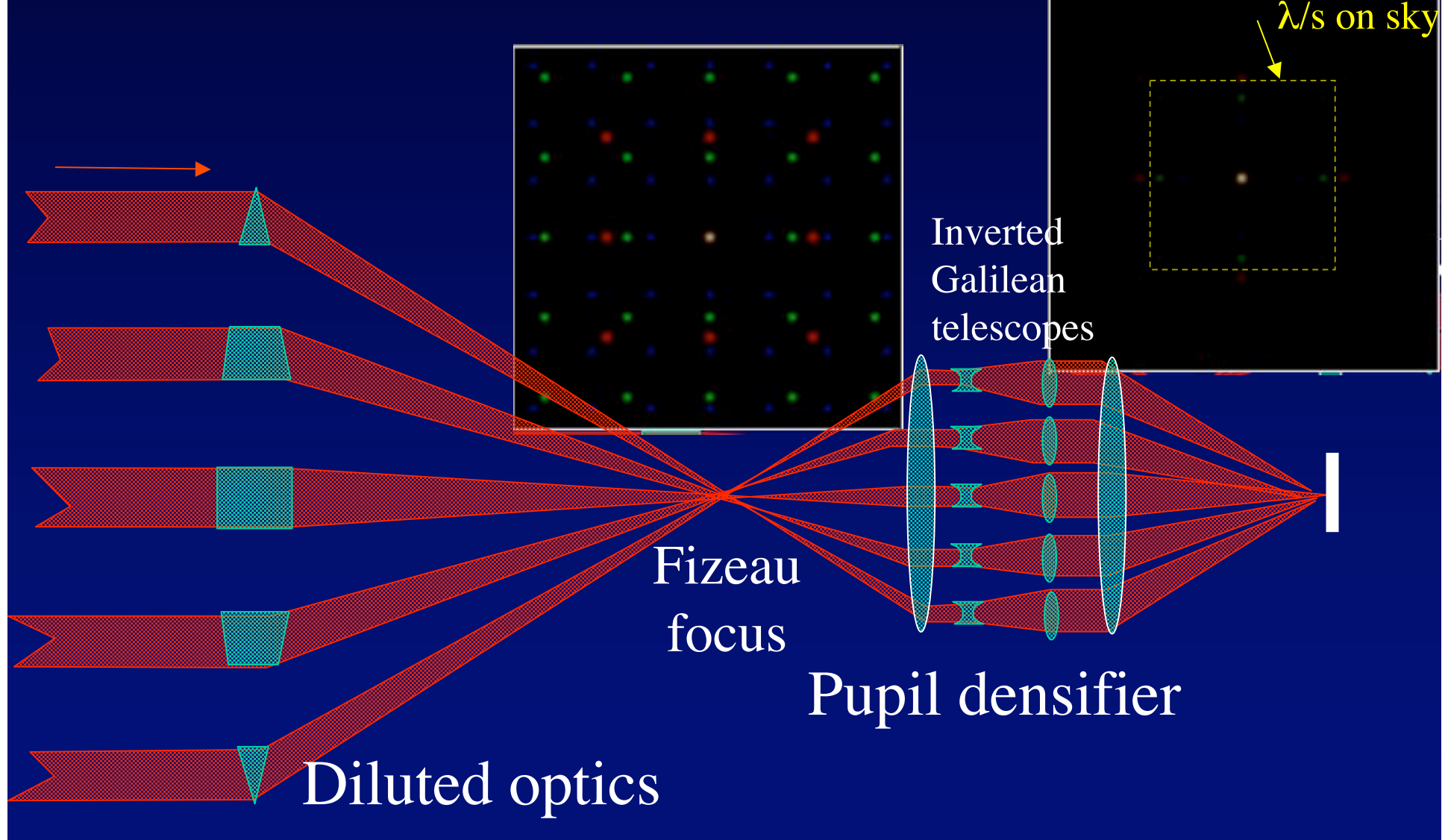
(Labeyrie A&A, 1996)



- Densify the pupil
- Preserve the center's pattern

Principle of hypertelescopes

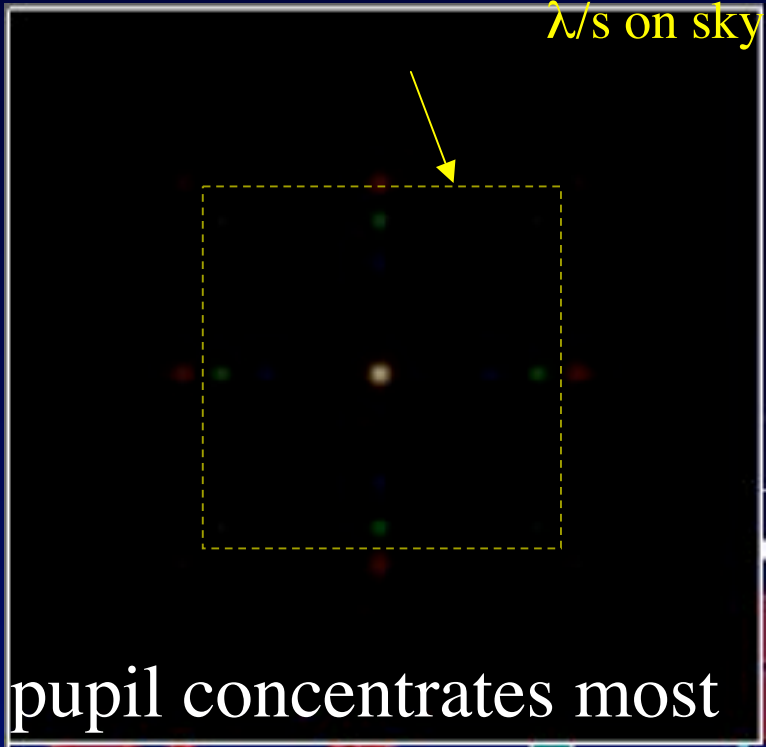
(case of a periodic aperture, with period s)



Direct Imaging Field

λ/s on sky

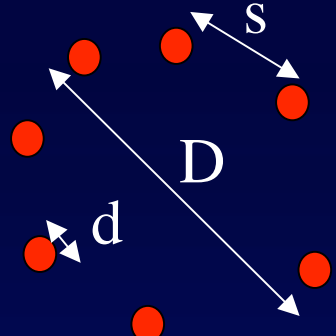
Properties of hypertelescopes



- Luminosity gain: fully densified pupil concentrates most light in the central peak (10^8 gain for Exo-Earth Imager)
- Point source image is a product of interference and diffraction functions
 - Interference function is convolved with object
 - Diffraction function is a broader nearly fixed envelope

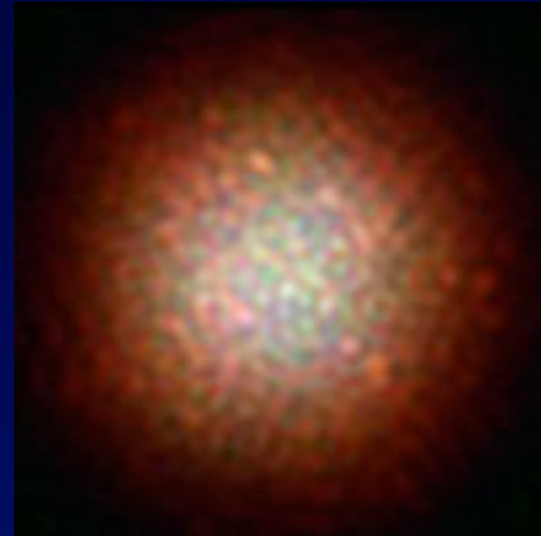
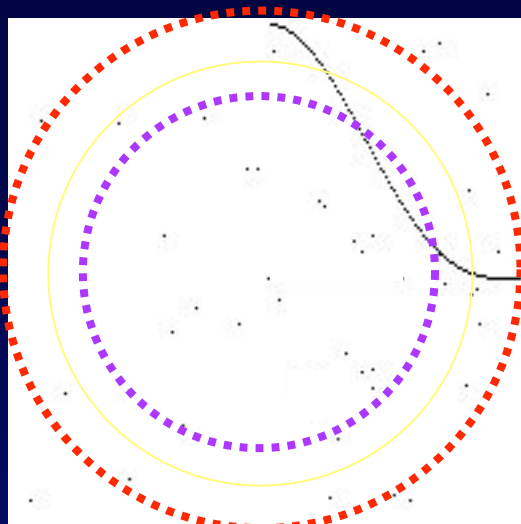
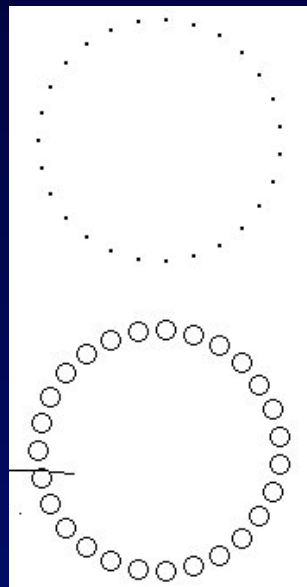
Properties of hypertelescopes

N apertures
total collecting area A



- Sky diameter of Direct Imaging Field :
 - $DIF = \lambda s^{-1} = \lambda D^{-1} N^{1/2} = \lambda d^{-1} D^{-1} A^{1/2}$
- Becomes infinite if d decreases to zero, at constant collecting area $A = N d^2$
 - Hypertelescope with very many apertures behaves as a giant telescope of diameter D , with image attenuated as $A D^{-2}$
- Field crowding limit on extended objects per diffraction lobe λ/d
maximal number of stars =
 - N^2 for non-redundant apertures
 - N for periodic apertures

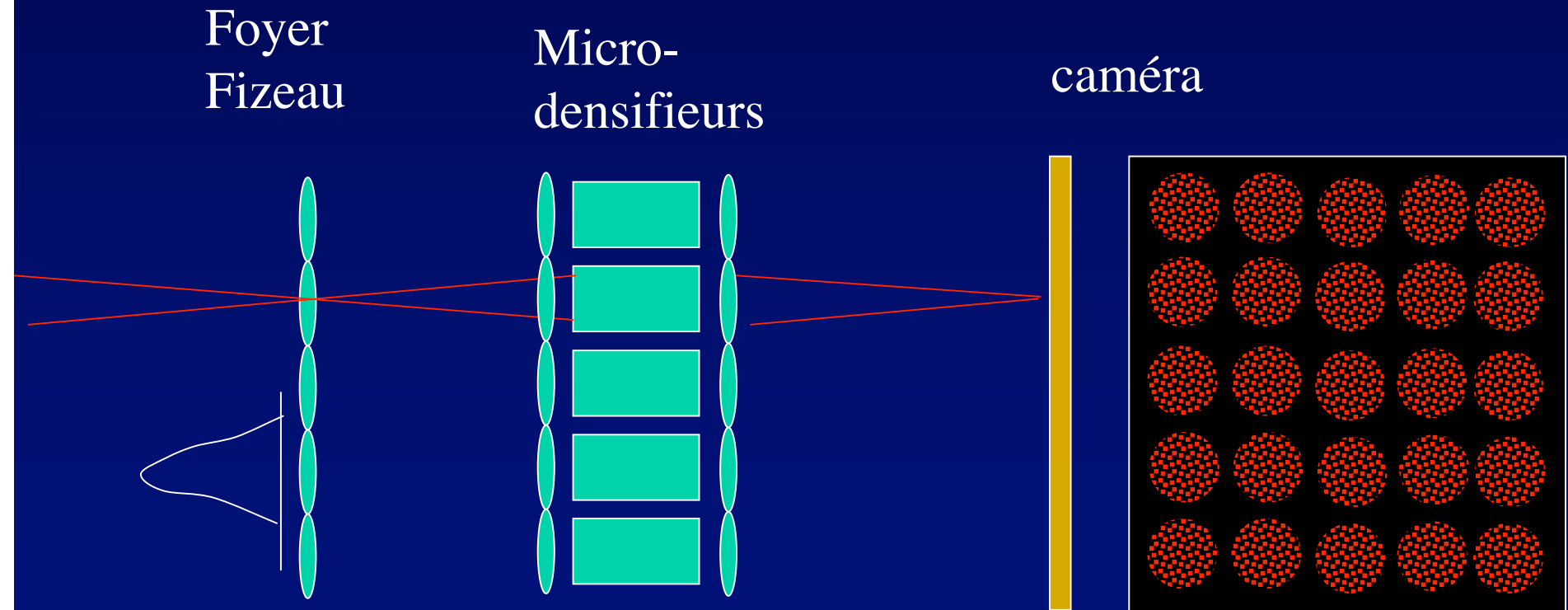
Encombrement



- 27 ouvertures, non-redondantes
- 101 étoiles, blanches, égales intensités, dont 16 dans le champ bleu

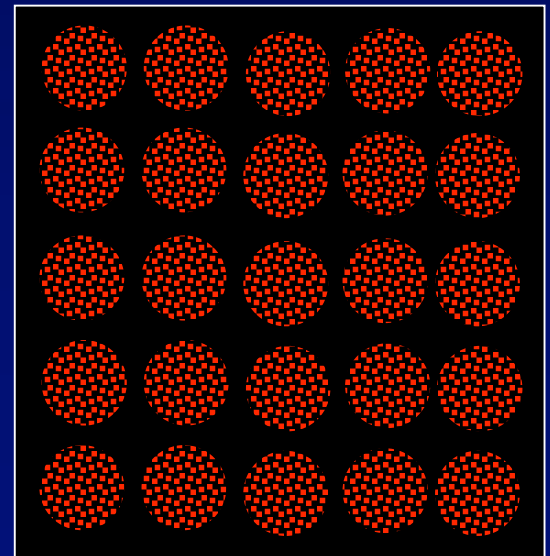
Observer plusieurs « lobes » λ/d

...avec une mosaïque de micro-densifieurs



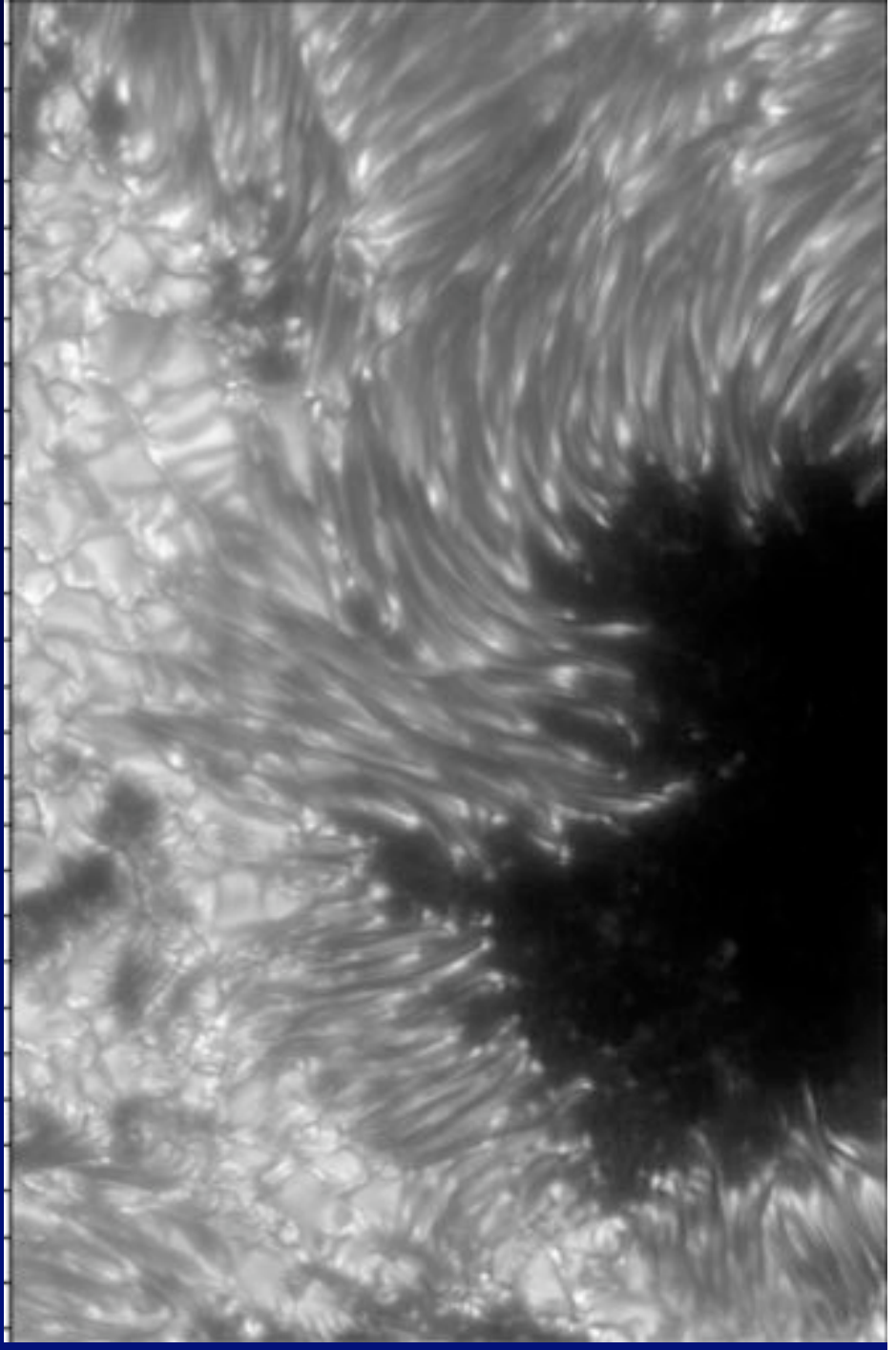
Quelle étendue de champ mosaique ?

- pour d= 25 cm: lobes de 0,5“...
- ... soit 80 microns au foyer primaire
- Sur 4 mm: 50x50 champs elementaires...
- pouvant contenir chacun 100x100 resels actifs si il y a 100 ouvertures non redondantes

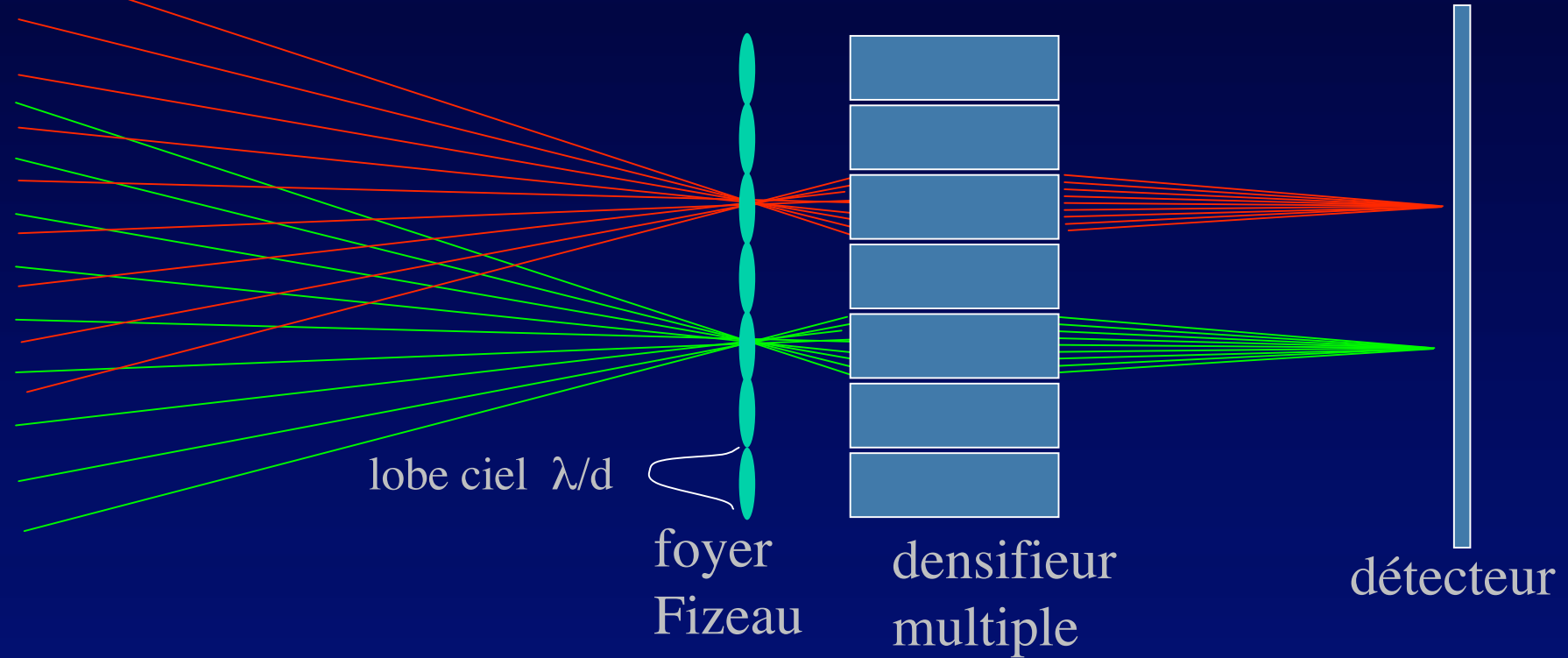


Filaments des taches solaires

- « serpents à dos noir et tête brillante »
- Télescope suédois de 1 m
- Avec optique adaptative à 15 actuateurs
- & sélection d'images
- Résolution 0 “16



cosmologie avec OWL éclaté: champ multiple

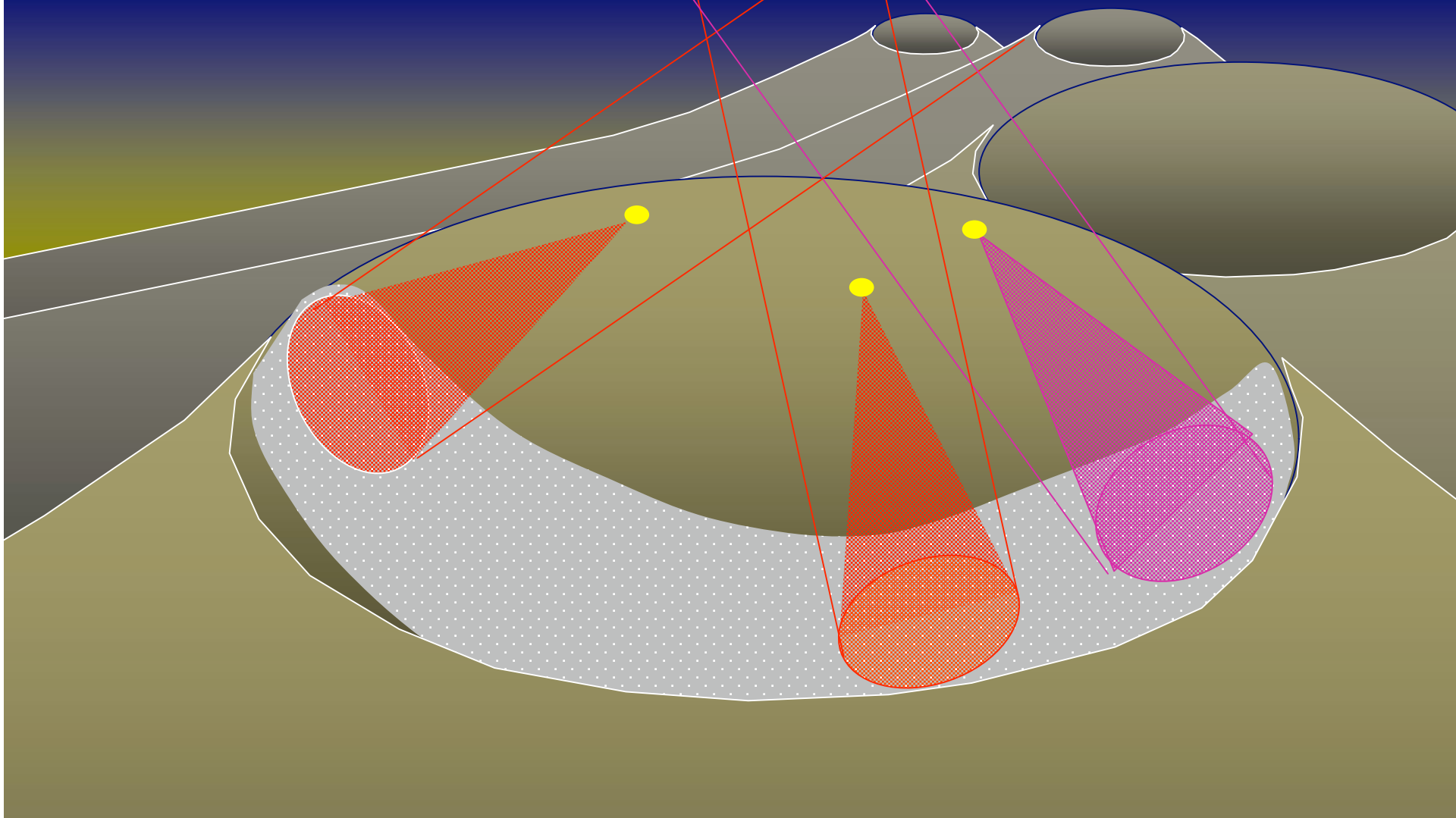


- Optique intégrée pour 1 000 x 1 000 densificateurs
- Poses décalées pour reconstruction mosaïque

hypertelescope CARLINA kilométrique

10,000 miroirs de 1m, étalés sur 5 km

Imagerie mag. 38, cosmologie



imagerie directe vs. synthèse d'ouverture: gain en sensibilité en présence de fond de ciel

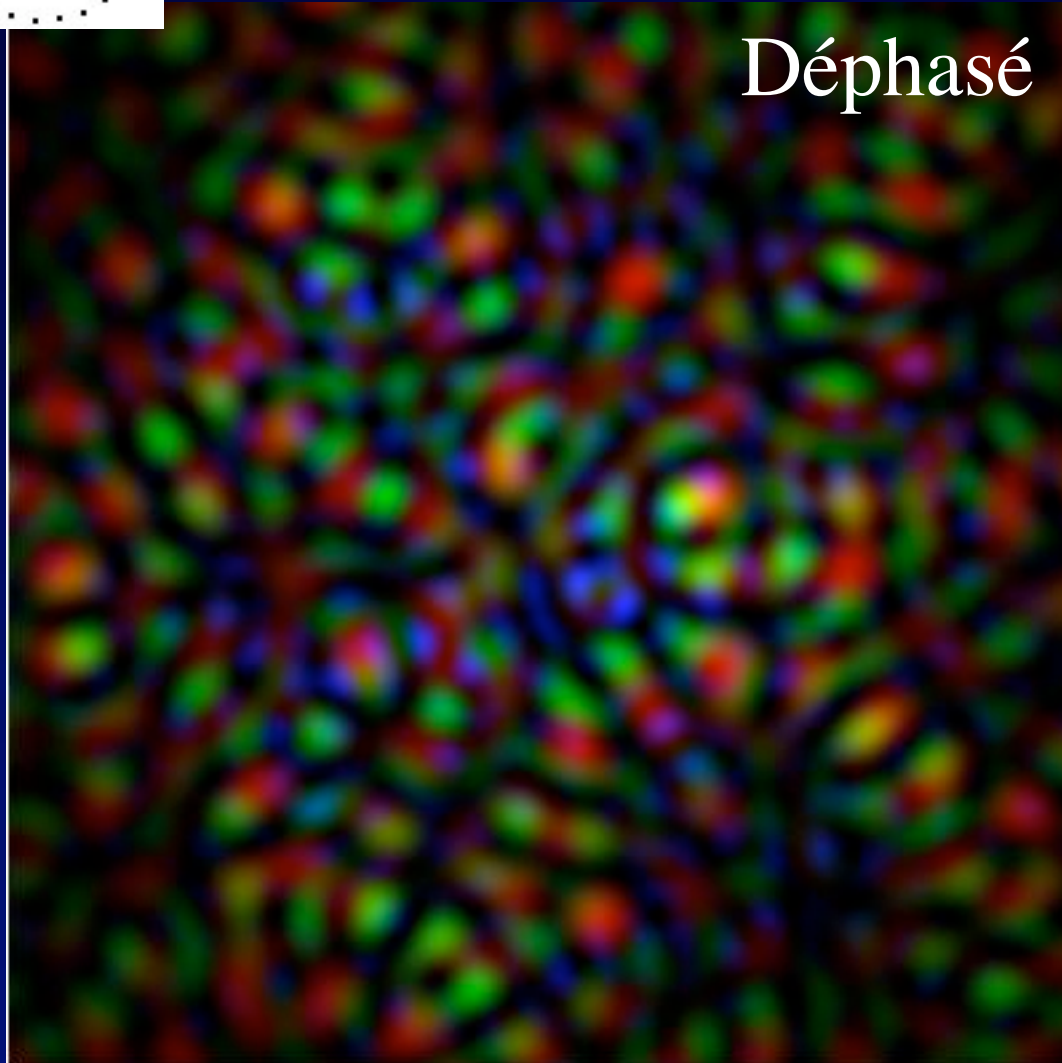
- mesure de visibilité des franges avec une paire d'ouvertures: contamination par le fond de ciel sur le lobe λ/d
- Le pic de l'image hypertélescope sépare en grande partie le signal du fond de ciel contenu dans le lobe

Le gain supplémentaire en sensibilité de l'hypertélescope, si le détecteur est imparfait

- la densification de pupille intensifie l'image
- .. en rétrécissant le halo de pics secondaires
- Sensibilité accrue si le détecteur n'est pas limité par le bruit de photons
- ... et économie de pixels

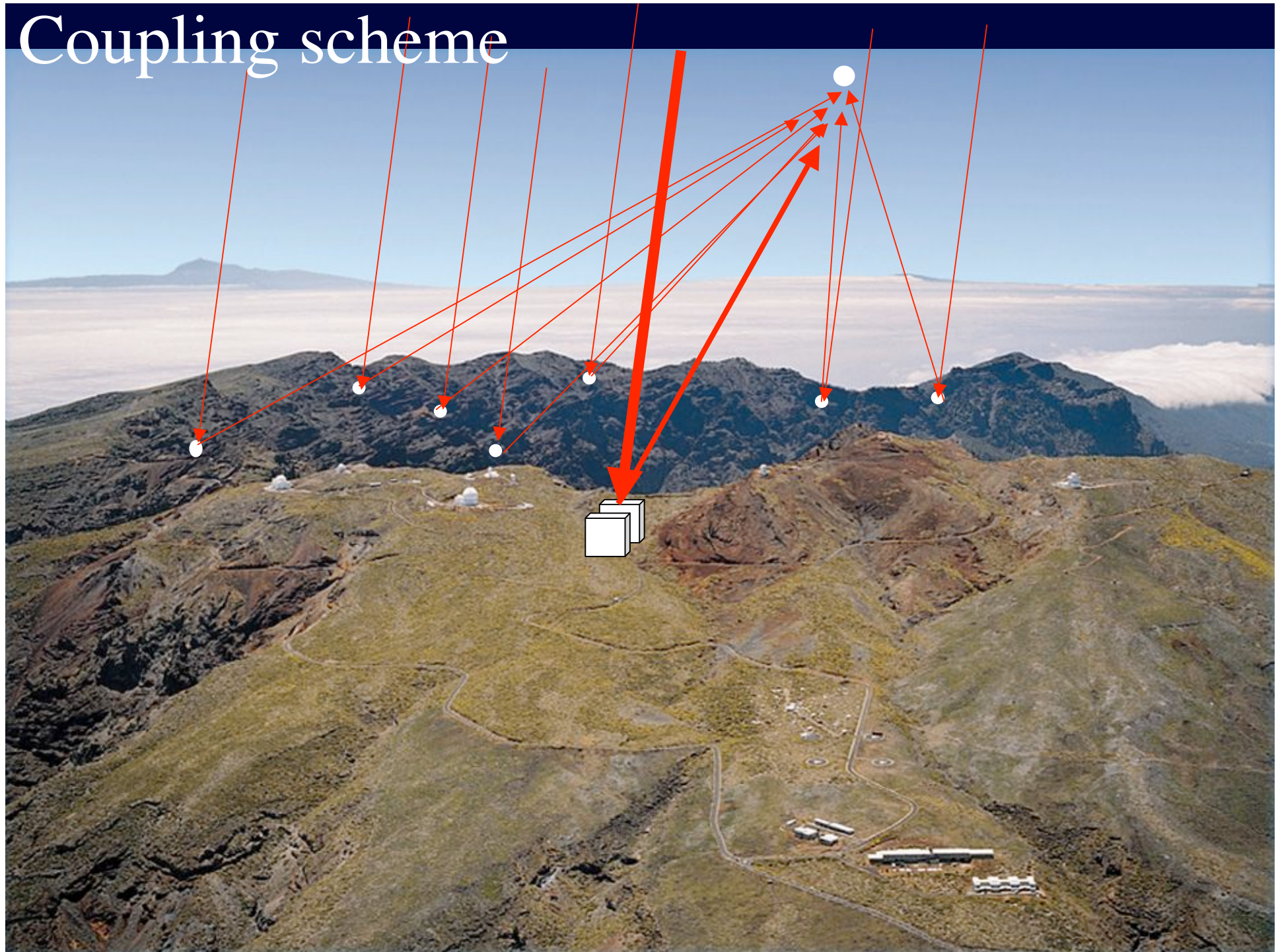
27 ouvertures en cercle

Déphasé

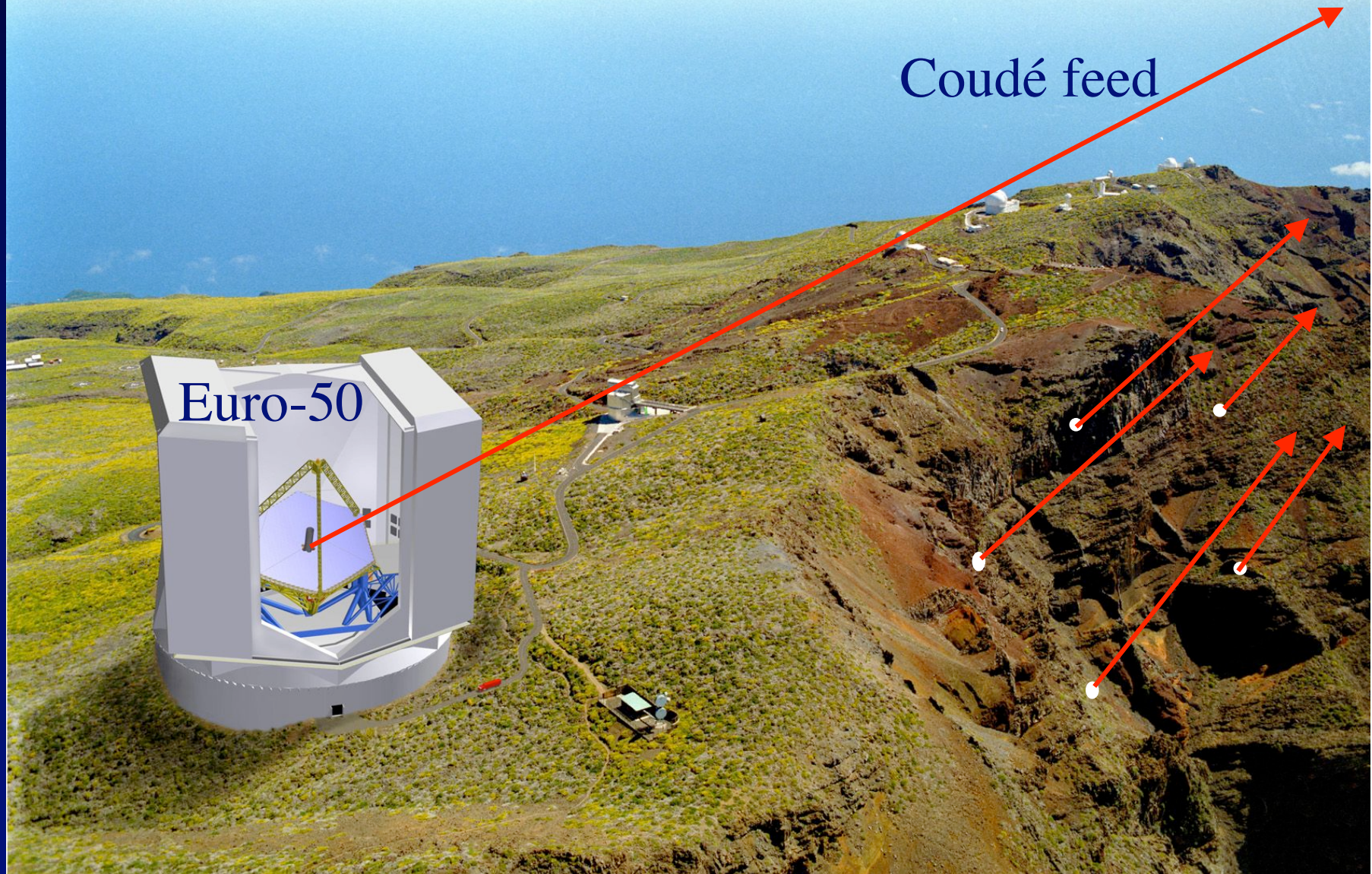


En phase

Coupling scheme



Roque de las Muchachos, Canarias



Interféromètre dans l'Antarctique ? Proposition « KEOPS » (Vakili et al. 2004)



Projet KEOPS (Vakili et al. 2004)

Hypertélescope au Dôme C (Antarctique)

- suspendu à 3 ballons
- Miroirs aux nœuds d'un filet
- Forme parabolique F/1
- Globalement pointé par 2 ou 3 treuils
- Dimension 1 km ?

